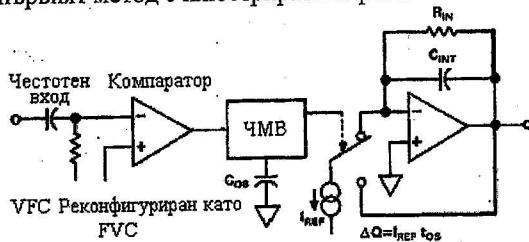


# Преобразувател на честота в напрежение и метод за преобразуване.

Доц. д-р Светослав Цветанов Иванов – ТУ София, филиал Пловдив  
Тел. 032/659-713, E-mail: sml@abv.bg

Ivanov S. Cv., Technical university of Sofia – branch Plovdiv, Frequency-to-voltage converter and method. This paper presents on the design and performance of a Frequency-to-voltage converter and method for converting. The schematic diagram of proposed and experimented converter is illustrated. The frequency – output voltage and frequency- ripple voltage on the output characteristics of the frequency-to-voltage converter are given. The experimental results of this paper confirm the theoretical predictions and demonstrate proportional dependency between inputs Frequencies and output voltage in wide interval.

**Въведение.** Известни са два популярни метода за преобразуване на честотно модулирани импулси в напрежение: входната честота стартира чакащ мултивибратор в структурата на зарядно-балансен преобразувател на напрежение в честота, който съдържа резистор в паралел на интегриращия кондензатор или входната честота се прилага на входа на фазово честотен компаратор на една схема за фазова синхронизация на честотата (PLL), която използва преобразувател от напрежение в честота като осцилатор. Принципът на действие на първият метод е илюстриран на фиг.1

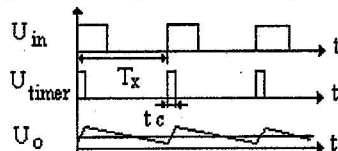


Фиг.1

За всеки период на входната честота, електрически заряд със стойност  $Q$  преминава през интегратора реализиран с  $RC$  групата. Чрез балансирането на едно постоянно количество електричество, което ще протича през всеки период на входната честота ( $T = 1/f$ ) при едно средно ниво  $I = U/R$  следва, че  $U_o = Q \cdot F.R.$  Макар, че напрежението зависи слабо от капацитета –  $C$ , пулсациите на изходното напрежение са обратно пропорционални на  $C$  [1]. Пулсациите от връх до връх на напрежението се получават от уравнението  $U = Q/C$ . Това означава, че пулсациите са независими от честотата. Времето за установяване на този преобразувател се определя от времеконстантата –  $\tau = R \cdot C$ , с което и

честотната грешка при преобразуването може да бъде изчислена. От тези уравнения се вижда, че характеристиките на този вид преобразуватели са взаимно зависими т. е. не е възможно да се оптимизират коефициента на пулсациите и времето за установяване по-отделно. За да се реализира последното условие се използва фазова синхронизация на честотата (PLL) [2]. Преобразувателят от честота в напрежение с фазова синхронизация на честотата се отличава от останалите PLL, само в едно отношение: управляваният с напрежение генератор при нормалната схема PLL, който трябва да бъде монотонен, но не непременно линеен, се заменя с генератор управляван по линеен закон [3]. Реализира се сервосистема и чрез отрицателна обратна връзка се поддържа равенство между изходната честота на генератора и честотата на входните импулси. Изходното напрежение, което в случая представлява управляващото напрежение на генератора на импулси, е пропорционално на входната честота. В тази статия е предложен нов метод и устройство за преобразуване на честота в напрежение.

**Метод на преобразуване.** Правовъгълните импулси с променлива честота, независимо от техният коефициент на запълване се преобразуват в импулсна поредица с променлив коефициент на запълване, като коефициента на запълване е в линейна зависимост от честотата на входните импулси. Широчинно-импулсно модулираните (ШИМ) импулси се демодулират и се получава постоянно напрежение, което е в линейна зависимост от честотата на входните импулси. Всеки положителен фронт на входните импулси включва чакащ мултивибратор (Timer), който генерира импулси с постоянна продължителност  $-t_c$  (фиг.2). Получената импулсна поредица е със същата честота на входните импулси, но с променлив коефициент на запълване.



фиг.2

Следователно импулсите на изхода на чакащия мултивибратор са модулирани по честота и по коефициент на запълване, във функция от честотата на входните импулси. Демодулирането им по коефициент на запълване се извършва най-често посредством пасивен нискочестотен филтер. Известна е стойността на изходното напрежение при детектиране на ШИМ модулирани сигнали:

$$U_o = \frac{t_c}{T_x} U_z , \quad (1)$$

където:  $t_c$  е продължителността на генерираният импулс от чакащия мултивибратор;

$T_x$  е честотата на входните импулси;

$U_z$  е стойността на захранващото напрежение за демодулатора.

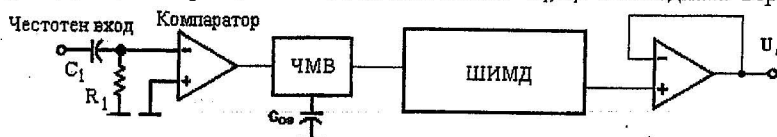
Честотата на входните импулси и техният период са равни на:

$$F_x = \frac{1}{T_x} \Rightarrow T_x = \frac{1}{F_x} \quad (2)$$

От това следва, че след задействане на чакащия мултивибратор от входната преобразувана честота на изхода на ШИМ демодулатора ще се установи напрежение със следната стойност:

$$U_o = \frac{t_c}{T_x} \cdot U_z = t_c \cdot F_x \cdot U_z \quad (3)$$

**Принципна схема на изследвания преобразувател от честота в напрежение.** Схемната реализация на предложението метод за преобразуване на честота в напрежение е показана на фиг.3. Импулсите постъпват на входа на диференциращата верига, включваща елементите  $C_1, R_1$ . Последната верига

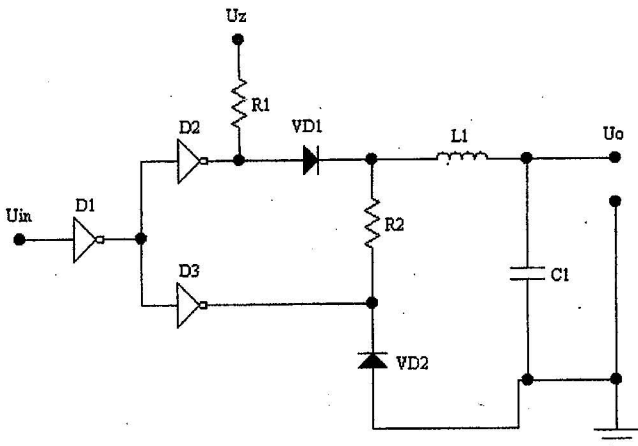


Фиг.3

заедно с компараторът в нулата генерираят стартиращия импулс за чакащия мултивибратор. Изходният импулс на последния постъпва на входа на широчинно-импулсния демодулатор (ШИМД). Аналоговият сигнал на изхода на демодулатора се съгласува по мощност със входните вериги на следващи схеми посредством повторителя на напрежение, реализиран с операционен усилвател.

#### **Принципна схема на широчинно импулсния демодулатор.**

За демодулатор на широчинно-импулсно модулираните сигнали е използван последователен  $RLC$  кръг (фиг.4). С помощта на инверторите  $D_2$  и  $D_3$  се осигуряват вериги съответно за зареждането и разреждането на кондензаторът  $C_1$ . При постъпване на сигнал лог."1" на входа на демодулатора, изходите на инверторите  $D_2$  и  $D_3$ , (които са с отворен колектор), се установяват във високо ниво. Следва процес на зареждане на кондензаторът  $C_1$  от захранващия източник  $U_z$  през резистора  $R_1$ , диода  $VD_1$  и бобината  $L_1$ . При постъпване на сигнал лог."0" на входа, изходите на инверторите  $D_2$  и  $D_3$  се установяват в ниско ниво, а диода  $VD_1$  се запушва. Токът от самоиндукция на бобината  $L_1$  се затваря по веригата  $-C_1, VD_2$  и  $R_2$ . А при настъпване на процесът на разреждане на кондензатора  $C_1$  електрическата верига се затваря през елементите  $L_1, R_2$  и изходния транзистор на инвертора  $D_3$ . Диодът  $VD_2$  предпазва изходния



Фиг.4

транзистор на инвертора  $D_3$  от инверсно включване. За препоръчване е диодите  $VD_1$  и  $VD_2$  да бъдат диоди на "Шотки". При проектиране на последователната  $RLC$  верига е спазено условието за апериодичен характер на преходния процес т.е., активното й съпротивление е по-голямо от удвоеното вълново съпротивление -  $R > 2\sqrt{LC^{-1}}$ . Собствената резонансна честота на контура е равна на  $F_0 = 16$  kHz.

#### Резултати от експерименталните изследвания.

Честотата на генерираните импулси от чакащия мултивибратор  $t_c$  е равна на 1  $\mu$ s. Експерименталните изследвания са проведени с входни импулсни сигнали с променлива честота изменяща се в интервала от 50 до 500 kHz. В табл.1 са отразени резултатите от направените измервания и изчисления на основните параметри на преобразувателя от честота в напрежение –  $K_p$ ,  $K_r$ ,  $t_{set}$ . Честотата

Табл.1

$F_x$ [kHz]	50	100	200	300	400	500
$U_{out}$ [V]	0.965	1.571	2.745	3.944	5.08	6.176
$K_p$	0.000019	0.0000157	0.0000137	0.0000131	0.0000127	0.0000123
$K_r$ [%]	5.1	2.35	0.73	0.33	0.18	0.06
$t_{set}$ [ $\mu$ s]	579	525	660	874	924	919

на входните импулси е означена с  $F_x$ , а стойността на изходното напрежение на честотния демодулатор с  $U_{out}$ .

Коефициента на пропорционалност е определен от отношението:

$$K_p = \frac{U_{out}}{F_x} \quad (4)$$

Кофициентът на пулсациите е определен от уравнението:

$$K_r = \frac{U_p}{U_{out}} \cdot 100\% \quad (5)$$

Времето за установяване –  $t_{set}$  е измерено като интервал от постъпването на първия импулс на входа на преобразувателя със съответната честота, до момента на установяване на изходното напрежение –  $U_{out}$ .

Кофициент на нелинейност на предавателната характеристика ( $U_{out}=f(F_x)$ ) определен за честотния интервал от 100 до 500 kHz от уравнението:

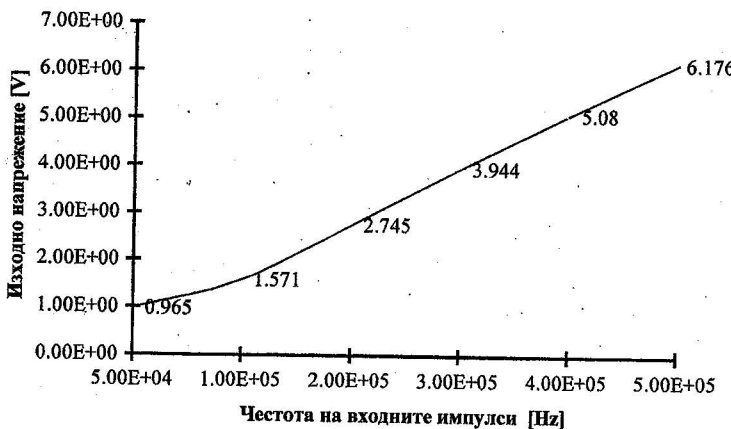
$$K_N = \frac{\left. \frac{du}{dt} \right|_{f=100kHz} - \left. \frac{du}{dt} \right|_{f=500kHz}}{\left. \frac{du}{dt} \right|_{f=100kHz}} \quad (6)$$

$$K_N = 0.22$$

Най-малък е коефициента на нелинейност в честотните интервали между 300, 400 и 500 kHz.

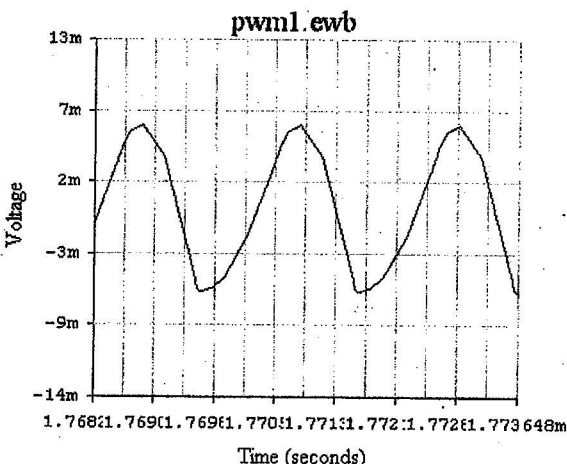
$$K_N = 0.03$$

Зависимостта на изходното напрежение на преобразувателя във функция от честотата на входните импулси е показана на фиг.5.



Фиг.5

Осцилограма на изходното напрежение на честотния преобразувател при честота на входните импулси  $F_x = 500 \text{ kHz}$  е показана на фиг.6.



Фиг.6

От фигурата се виждат пулсациите на изходното напрежение измерени в режим АС на осцилоскопа.

### Заключение.

Предложеният метод и устройство за преобразуване на честота в напрежение има добра линейност в изследвания интервал от 100 до 500 kHz. Интервалът на изменение на изходното напрежение може да бъде предварително зададен с промяна на захранващото напрежение  $U_2$ . Използването на RLC верига вместо RC верига за демодулиране на импулсите намалява пулсациите на изходното напрежение в широк честотен диапазон.

### Литература:

1. Prokin M., Dynamic response of the Double buffered frequency measurement method, IEEE instrumentation and measurement technology conference, May 12-14, 1992, p.46-51.
2. Гальперина М., Современные линейные интегральные микросхемы и их применение, Москва, Энергия, 1980.
3. Ikeda H., A new modulation-index measuring instrument for square-wave fm signal, IEEE instrumentation and measurement technology conference, May 12-14, 1992, p.52-55.